



# IL PROBLEMA DEL DISPIEGAMENTO DISTRIBUITO DI SENSORI MOBILI OVVERO IL DIAGRAMMA DI VORONOI

Prof. Tiziana Calamoneri  
Corso di Algoritmi per le reti  
A.A. 2012/13

1



## IL PROBLEMA

2

## IL PROBLEMA (1)

- Abbiamo già parlato delle *reti di sensori mobili...*
- ... e del *problema del dispiegamento*.
- Una soluzione centralizzata non è sempre auspicabile:
  - E' richiesta la connessione con un server centrale
  - Sono richieste lunghe attese
  - La soluzione non è fault-tolerant
- La possibilità di movimento facilita i sensori ad auto-dispiegarsi a partire da una configurazione iniziale qualunque fino a sparpagliarsi su tutta l'AoI garantendo la copertura totale.

3

## IL PROBLEMA (2)

- L'auto-dispiegamento è necessario quando l'ambiente è "ostile"
  - Luoghi contaminati
  - Incendi
  - Campi di guerra...
- I sensori dovrebbero posizionarsi e trasmettere al più presto informazioni sull'ambiente.

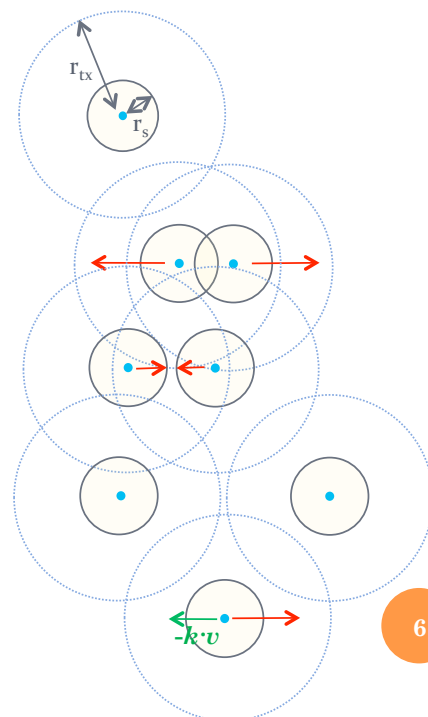
4

## IL PROBLEMA (3)

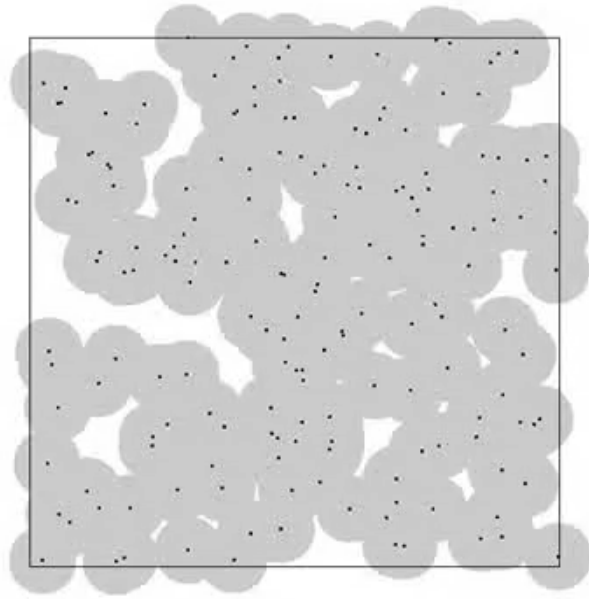
- **Oss.** Il Problema del dispiegamento è in stretta relazione con il classico problema di geometria computazionale chiamato *art gallery* problem.
- In tale problema si cerca di determinare, in un ambiente poligonale, il min numero di telecamere che si devono installare per garantire che l'intera sala sia sorvegliata.
- Esistono diversi algoritmi per risolvere l'art gallery problem, ma tutti assumono una perfetta conoscenza a priori dell'ambiente.

## UN APPROCCIO: FORZE VIRTUALI (1)

- L'idea: i sensori sono delle particelle cariche (forza magnetica) e dotati di massa (forza gravitazionale)
- due sensori si respingono se sono troppo vicini
- due sensori si attraggono se sono lontani ma comunque in comunicazione
- due sensori si ignorano se non sono in comunicazione (troppo lontani)
- attrito per fermare le oscillazioni



## UN APPROCCIO: FORZE VIRTUALI (2)



7

## UN APPROCCIO: FORZE VIRTUALI (3)

### Punti di debolezza:

- Necessario settaggio dei parametri in modo arbitrario
- Oscillazione dei sensori
  - Forze di attrito
  - Stopping conditions
- Effetto “carta moschicida” del bordo e degli ostacoli (in alcune versioni, ad es. quando non c'è forza attrattiva)
- ...

8

## UN APPROCCIO: FORZE VIRTUALI (4)

### Punti di debolezza (segue):

- I sensori non passano attraverso le porte e i corridoi

TESINA

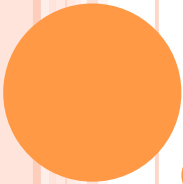
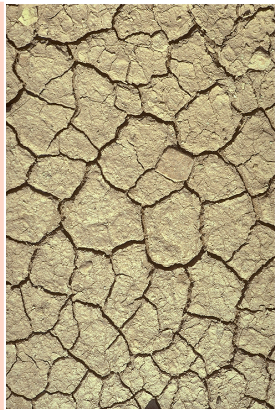
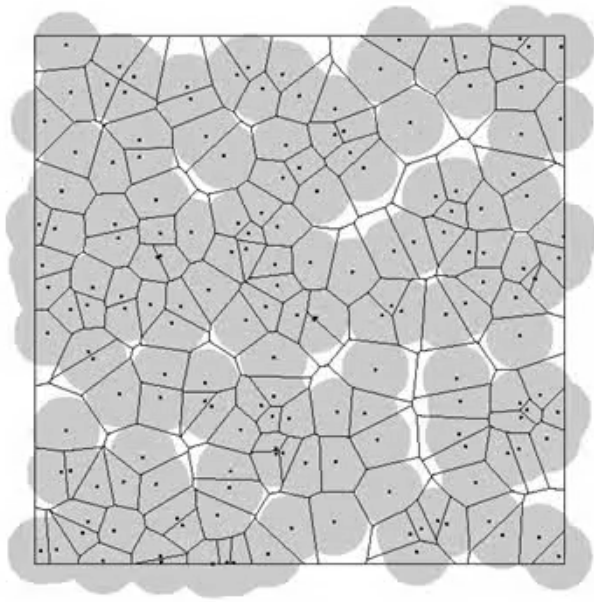


## UN PROTOCOLLO BASATO SUI DIAGRAMMI DI VORONOI

Idea:

- Ogni sensore deve prendersi carico di una porzione di piano e spostarsi per cercare di coprirlo al meglio
- Il sensore può considerarsi “soddisfatto” se:
  - Copre completamente la sua porzione oppure
  - Tutto il suo cerchio di sensing è impegnato per coprire la sua porzione
- Se un sensore non è “soddisfatto” si deve spostare per coprire meglio.
- Le porzioni possono essere assegnate seguendo il **diagramma di Voronoi**.

TESINA

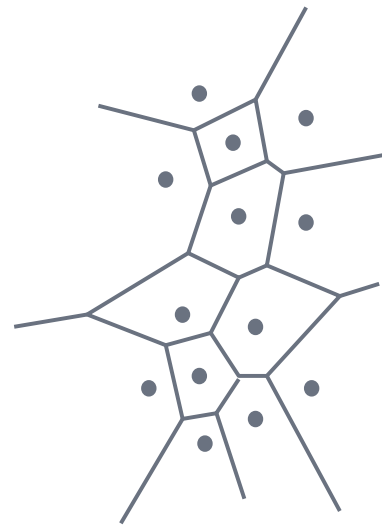


## IL DIAGRAMMA DI VORONOI

## DIAGRAMMA DI VORONOI (1)

### Def. di Diagramma di Voronoi:

- $\mathcal{P}$ : insieme di  $n$  punti distinti nel piano
- VD ( $\mathcal{P}$ ): partizione del piano in  $n$  celle  $V_i$  tale che:
  - ogni  $V_i$  contiene esattamente un punto
  - se un punto del piano  $Q$  è in un  $V_i$  allora  $\text{dist}(Q, P_i) < \text{dist}(Q, P_j)$  per ogni  $P_j \in \mathcal{P}, j \neq i$ .



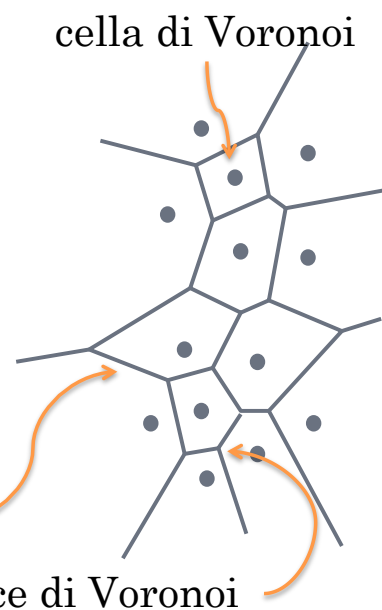
13

## DIAGRAMMA DI VORONOI (2)

- In altre parole: VD ( $\mathcal{P}$ ) è una partizione del piano in regioni convesse  $\{V_1, \dots, V_n\}$ , ogni  $V_i$  contiene esattamente un punto  $P_i \in \mathcal{P}$  tale che per ogni altro punto in  $V_i$  il suo punto più vicino in  $\mathcal{P}$  è  $P_i$ .

Asse di Voronoi

Vertice di Voronoi



14

## DIAGRAMMA DI VORONOI (3)

I diagrammi di Voronoi sono stati usati:

- dagli antropologi per descrivere le regioni di influenza di differenti culture;
- dai cristallografi per spiegare la struttura di certi cristalli e metalli;
- dai botanici per studiare la competizione tra le piante;
- dagli economisti per modellare i mercati;
- ...

15

## DIAGRAMMI DI VORONOI (4)

- Un uso informale dei diagr. di Voronoi si può far risalire a Cartesio (1644).
- Dirichlet ha usato diagr. di Voronoi nei suoi studi sulle forme quadratiche nel 1850.
- Il fisico inglese Snow li ha usati nel 1854 per illustrare le dinamiche del contagio del colera.
- I diagr. di Voronoi sono stati chiamati così in onore del matematico russo Georgy F. Voronoi, che li ha definiti e studiati nello spazio  $n$ -dimensionale nel 1908.
- Essi sono chiamati *poligoni di Thiessen* in meteorologia in onore del meteorologo americano Alfred H. Thiessen; *celle di Wigner-Seitz* in fisica della materia, *domini fondamentali* in teoria dei gruppi e *poligoni fondamentali* in topologia.

16

## DIAGRAMMA DI VORONOI (5)

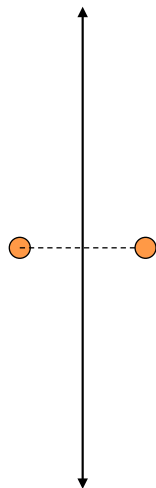
### Diagramma di Voronoi di un punto



17

## DIAGRAMMA DI VORONOI (6)

### Diagramma di Voronoi di due punti

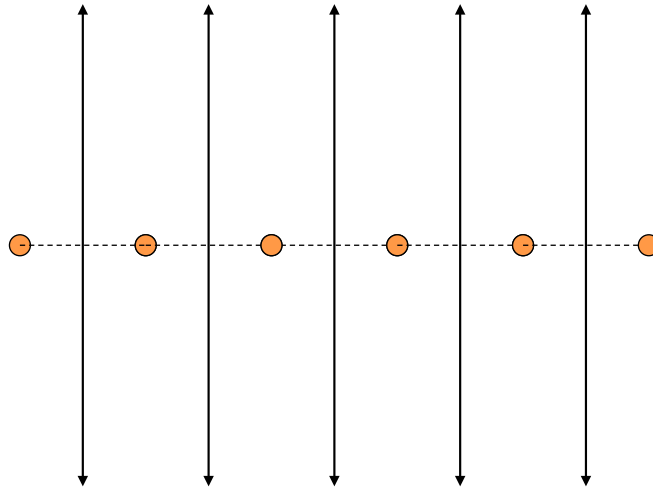


Asse che si estende all'infinito  
in entrambe le direzioni, e  
genera due semipiani

18

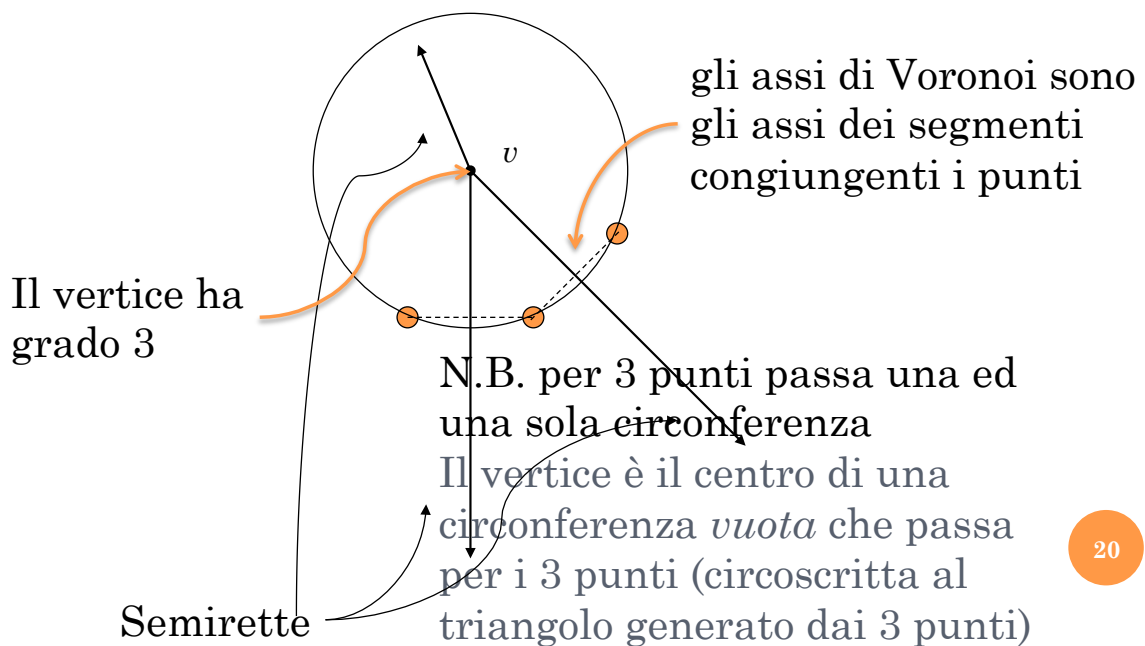
## DIAGRAMMA DI VORONOI (7)

### Diagramma di Voronoi di punti collineari



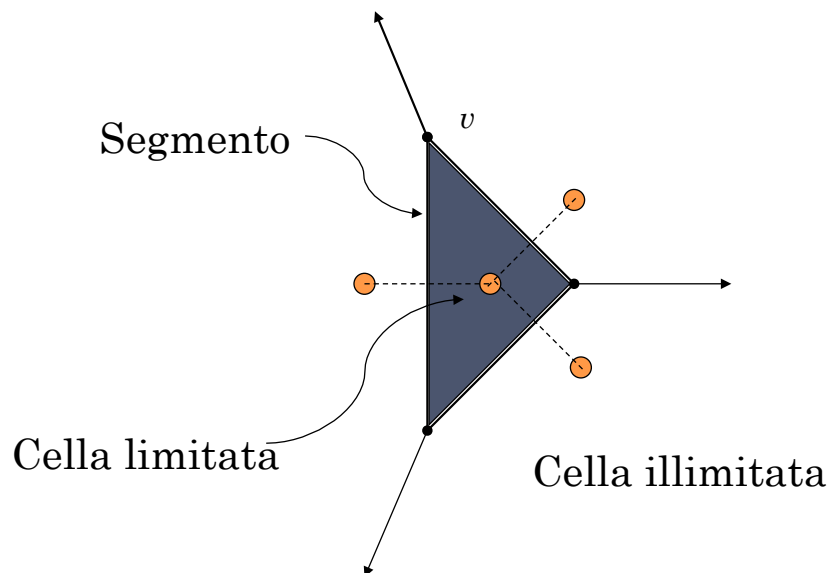
## DIAGRAMMA DI VORONOI (8)

### Diagramma di Voronoi di 3 punti non collineari



## DIAGRAMMA DI VORONOI (9)

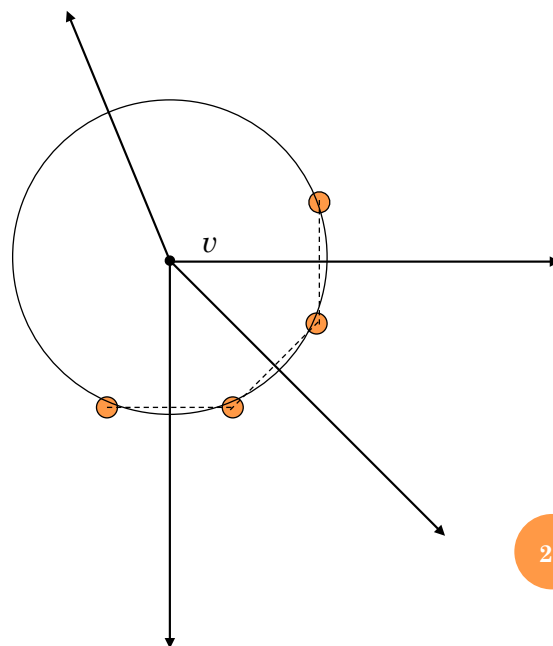
Diagramma di Voronoi di 4 punti non collineari



## DIAGRAMMA DI VORONOI (10)

Non sempre 4 punti non collineari generano una cella limitata:

Assunzione di  
**Posizione generale**: 3  
punti non sono  
collineari e 4 punti non  
sono cocircolari  
Così tutti i vertici  
hanno grado 3!



## PROPRIETÀ DEL DIAGR. DI VORONOI (1)

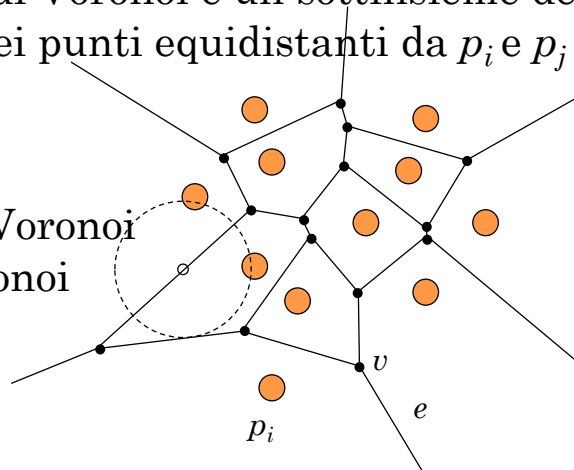
Un punto  $q$  giace sul segmento di Voronoi tra  $p_i$  e  $p_j$  sse il più grande cerchio vuoto centrato in  $q$  tocca solo  $p_i$  e  $p_j$

- Un segmento di Voronoi è un sottinsieme dell'asse, cioè del luogo dei punti equidistanti da  $p_i$  e  $p_j$

$p_i$  : punti di  $\mathcal{P}$

$e$  : segmento di Voronoi

$v$  : verice di Voronoi



23

## PROPRIETÀ DEL DIAGR. DI VORONOI (2)

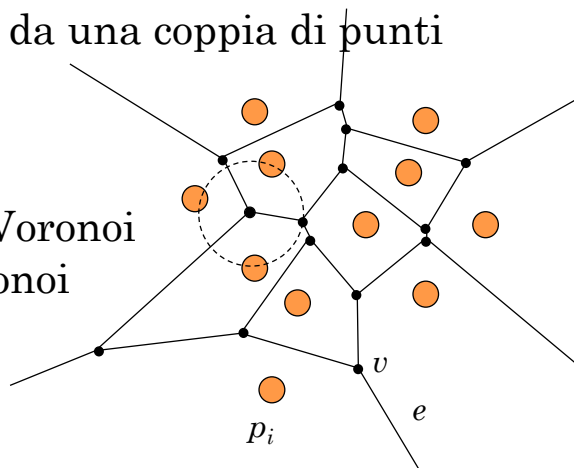
Un punto  $q$  è un vertice sse il più grande cerchio vuoto centrato in  $q$  tocca almeno 3 punti di  $\mathcal{P}$

Un vertice di Voronoi è l'intersezione di 3 o più assi, ciascuno generato da una coppia di punti

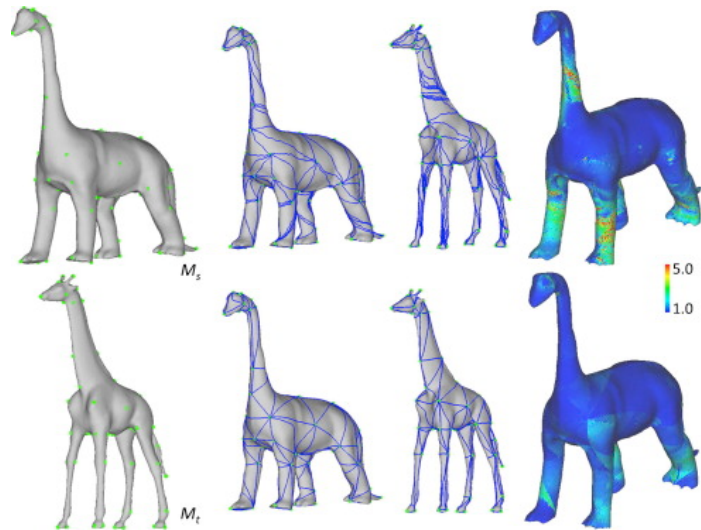
$p_i$  : punti di  $\mathcal{P}$

$e$  : segmento di Voronoi

$v$  : verice di Voronoi



24

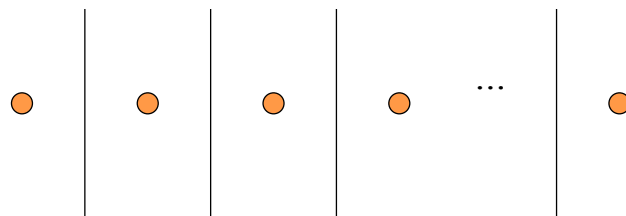


## COMPLESSITÀ DEL DIAGRAMMA DI VORONOI

25

### COMPLESSITÀ DEL DIAGRAMMA (1)

- Th.: Per  $n \geq 3$ ,  $|v| \leq 2n - 5$  e  $|e| \leq 3n - 6$
- Dim.: (Caso facile)



punti collineari  $\rightarrow |v| = 0, |e| = n - 1$

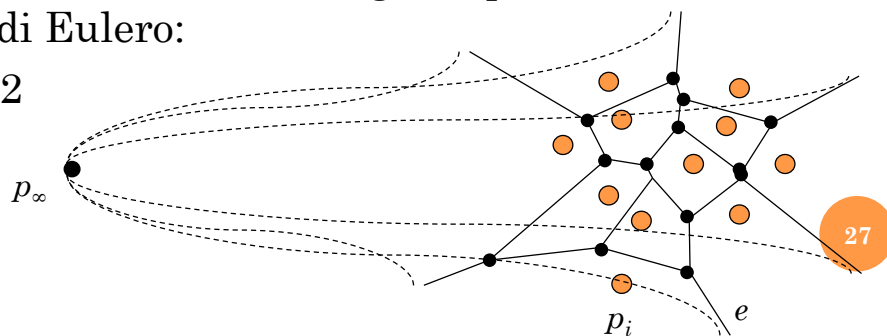
## COMPLESSITÀ DEL DIAGRAMMA (2)

Segue dim. del Th.: Per  $n \geq 3$ ,  $|v| \leq 2n - 5$  e  $|e| \leq 3n - 6$

Dim.: (Caso generale)

- Problema: un diagr. di Voronoi non può essere considerato un grafo perché ha archi e facce di dimensione infinita
- Soluzione: aggiungiamo un punto fittizio
- Ora il diagr. di Voronoi è un grafo planare e connesso  
→ formula di Eulero:

$$|v| - |e| + f = 2$$



## COMPLESSITÀ DEL DIAGRAMMA (3)

Segue dim. del Th.: Per  $n \geq 3$ ,  $|v| \leq 2n - 5$  e  $|e| \leq 3n - 6$

$f = n + 1$ . La formula di Eulero diventa:

$$|v| - |e| + n + 1 = 2 \quad (1)$$

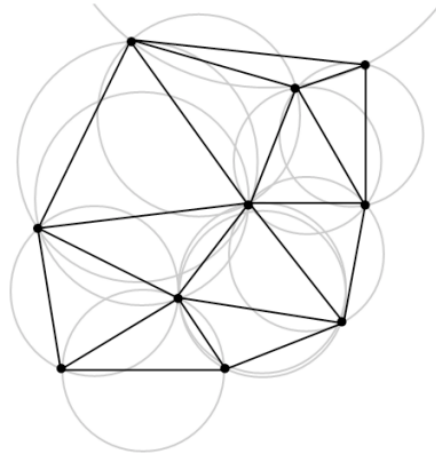
$$\text{Inoltre: } \sum_{v \in VD} \deg(v) = 2|e|$$

$$\text{poiché } \deg(v) \geq 3 \rightarrow 2|e| \geq 3|v| \quad (2)$$

Unendo (1) e (2):

$$|v| \leq 2n - 5$$

$$|e| \leq 3n - 6$$

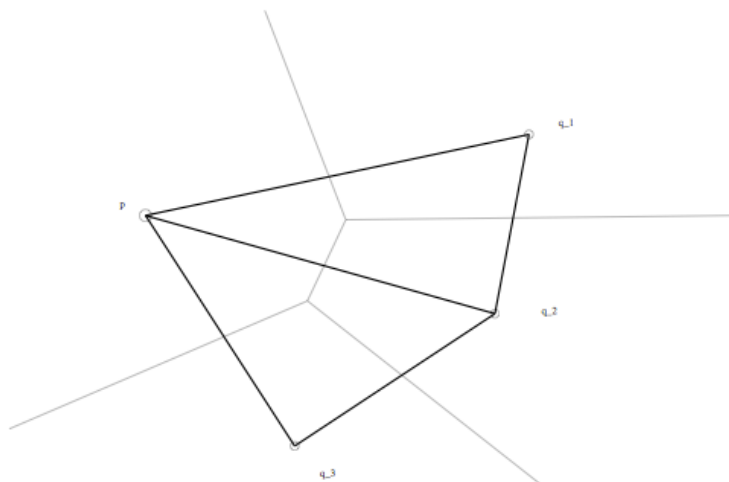


## IL PROBLEMA DUALE DEL DIAGRAMMA DI VORONOI

29

### IL PROBLEMA DUALE DEL DIAGR. DI VORONOI

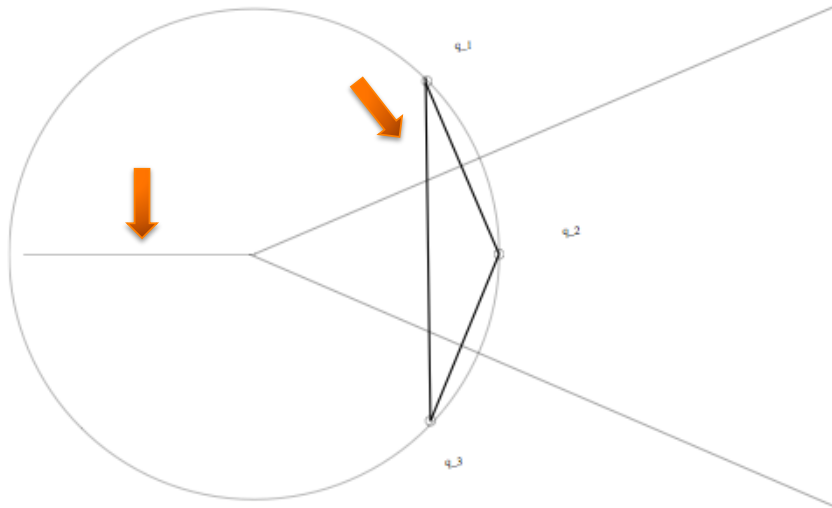
- Il problema duale rispetto alla decomposizione del piano in celle di Voronoi è la **triangolazione di Delaunay** (ottenuta intersecando ogni asse di Voronoi con un segmento che congiunge i punti generatori)



30

## LA TRIANGOLAZIONE DI DELAUNAY (1)

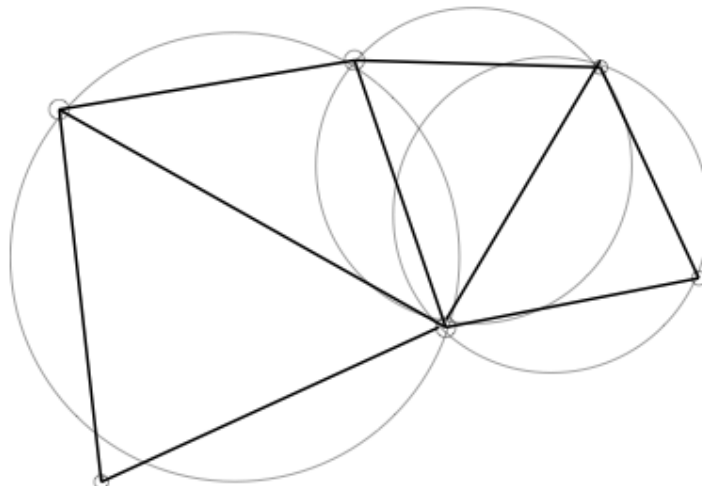
- N.B. archi duali non necessariamente si intersecano!



31

## LA TRIANGOLAZIONE DI DELAUNAY (2)

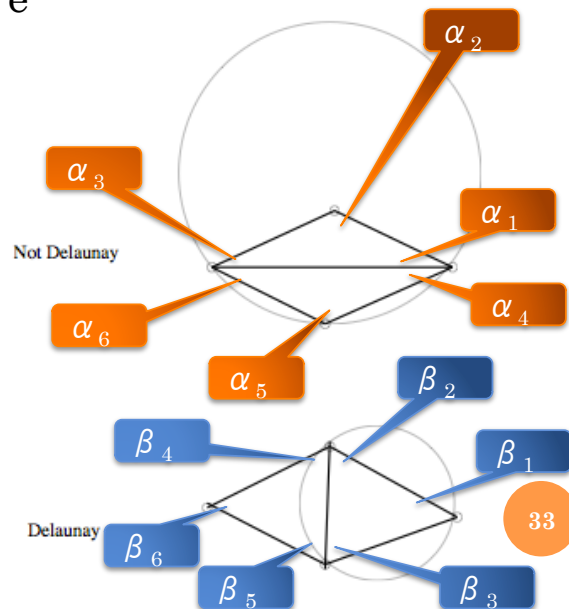
- Proprietà fondamentale: il cerchio circoscritto ad un triangolo non contiene punti dell'insieme



32

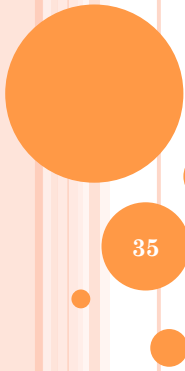
## LA TRIANGOLAZIONE DI DELAUNAY (3)

- Proprietà fondamentale: nessun arco può essere illegale
- Un arco è illegale se:  
$$\min \alpha_i < \min \beta_i$$
- Se  $e$  è un arco illegale, possibile scambiare triangoli per rendere triangolazione di Delaunay



## LA TRIANGOLAZIONE DI DELAUNAY (4)

- Ci sono lavori che usano la triangolazione di Delaunay per indirizzare i sensori verso una posizione che consenta la copertura globale
- Esistono diversi algoritmi per calcolare una triangolazione di Delaunay -> TESINA
- E' possibile calcolare il diagramma di Voronoi a partire dalla triangolazione di Delaunay.
- Altrimenti...

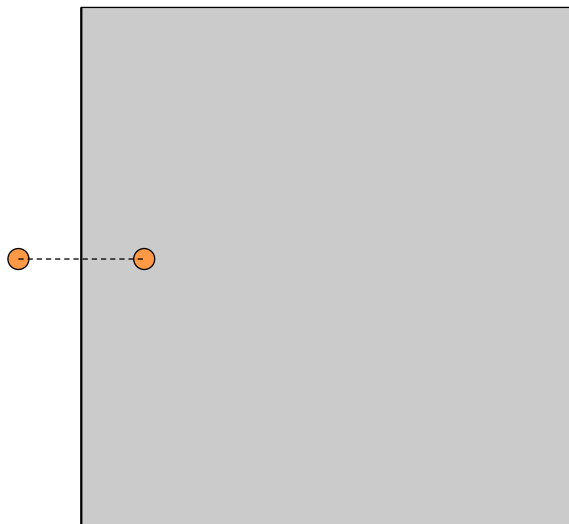


## ALGORITMI PER CALCOLARE IL DIAGRAMMA DI VORONOI

35

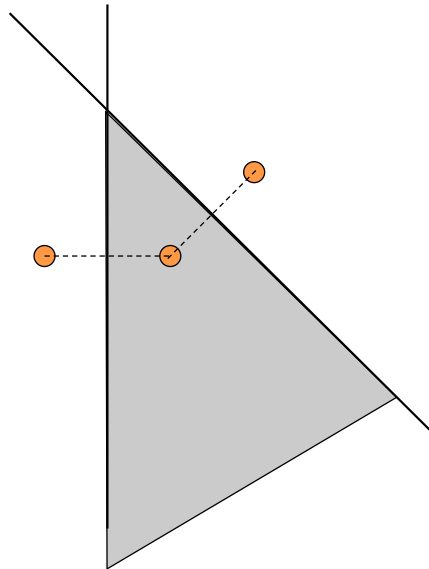
### ALGORITMO BASATO SULL'INTERSEZIONE DEI SEMIPIANI (1)

Una cella di Voronoi si ottiene intersecando  
ripetutamente dei semipiani:



36

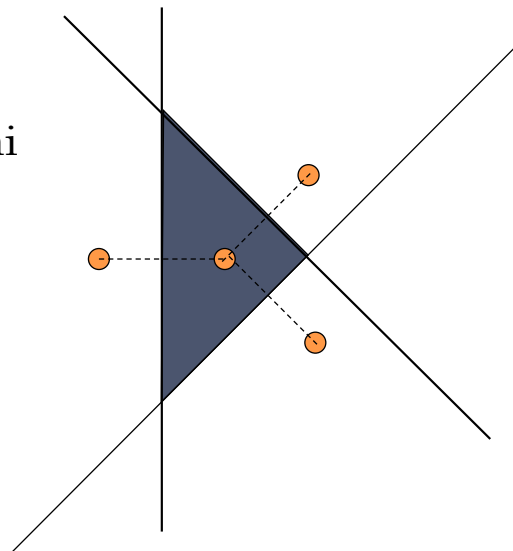
## ALGORITMO BASATO SULL'INTERSEZIONE DEI SEMIPIANI (2)



37

## ALGORITMO BASATO SULL'INTERSEZIONE DEI SEMIPIANI (3)

Questa operazione va ripetuta per ogni punto.



38

## ALGORITMO BASATO SULL'INTERSEZIONE DEI SEMIPIANI (4)

Ma quanto costa trovare l'intersezione di un certo numero  $k$  di semipiani?

Un algoritmo usa la tecnica del divide-et-impera...

39

## ALGORITMO BASATO SULL'INTERSEZIONE DEI SEMIPIANI (5)

### Passo divide:

L'insieme dei  $k$  semipiani è ricorsivamente suddiviso fino ad ottenere  $k$  semipiani singoli (Nota che questo passo induce una struttura di albero binario).

### Passo Impera:

Il semipiano in ogni foglia viene intersecato con un rettangolo  $R$  (lo spazio di ricerca). Così in ogni foglia c'è ora un poligono.

### Passo Combina:

Calcola ricorsivamente l'intersezione dei due poligoni figli e ponilo nel nodo corrente dell'albero bottom-up.

40

## ALGORITMO BASATO SULL'INTERSEZIONE DEI SEMIPIANI (6)

### Complessità del Passo Combina:

Siano  $p$  e  $p'$  il # di vertici di due generici poligoni che devono essere intersecati a qualche livello dell'albero. Questo passo si può eseguire in tempo  $O(p+p')$ .

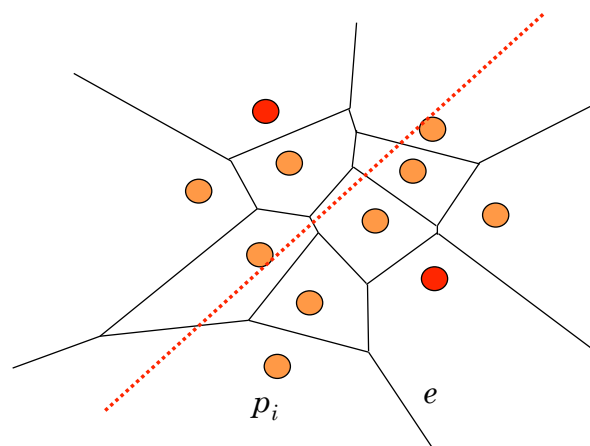
Si può dim. che la complessità dell'intero algoritmo è  $O(k \log k)$  e questo è ottimo perché è possibile mostrare che il problema dell'ordinamento per confronti si riduce al problema della ricerca dell'intersezione di semipiani.

**Complessità dell'algoritmo per il diagramma di Voronoi:** per calcolare una cella devo intersecare  $O(n^2)$  semipiani, quindi  $O(n^2 \log n^2)$ .

41

## INTUIZIONE (1)

Non tutte le coppie formano un asse!



42

## INTUIZIONE (2)

- L'idea è quella di prendere in prestito una tecnica nota della geometria computazionale e sfruttarla.
- Una buona candidata è la **sweep line**, usata per risolvere problemi geometrici bidimensionali tramite una sequenza di sottoproblemi quasi monodimensionali.
- Esempio classico: [Bentley, Ottmann '79] calcolare le intersezioni di  $n$  segmenti facendo spazzare il piano da una linea orizzontale (sweep line).
- Quando essa si muove, incontra degli oggetti e l'algoritmo risolve il problema relativo a questi soli oggetti.

43

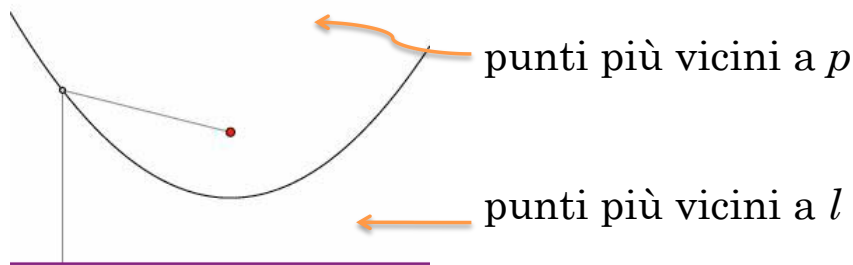
## INTUIZIONE (3)

- Questo metodo non funziona così com'è per i diagrammi di Voronoi, poiché sarebbe necessario “predire” la posizione dei siti prima che la sweep line li incontri.
- Fortune [1986] ha ideato un modo per aggirare il problema, basandosi su una linea aggiuntiva, detta **beach line**.

44

## ALGORITMO DI FORTUNE (1)

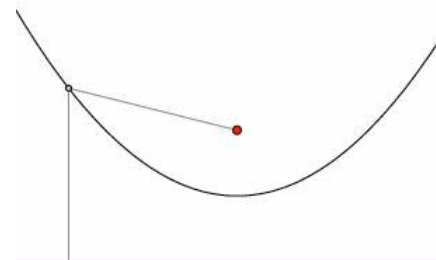
- Idea: piuttosto che considerare le distanze tra i vari punti, introduciamo una linea (*sweep line*) che spazza il piano e la usiamo per facilitare il confronto tra distanze.
- E' come se questa linea scoprisse il diagr. di Voronoi man mano che spazza il piano.
- N.B. Dato un punto  $p$  ed una retta  $l$  esterna ad esso, il luogo dei punti equidistanti forma una parabola  $P_{p,l}$ .



45

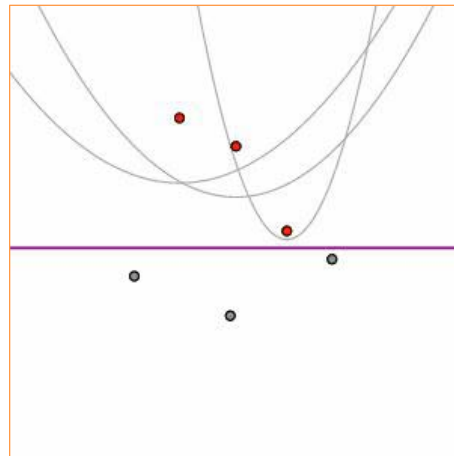
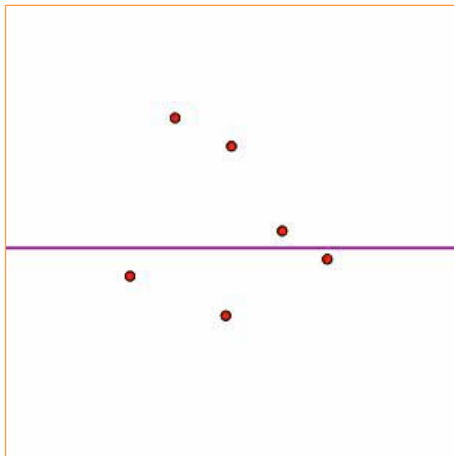
## ALGORITMO DI FORTUNE (2)

- Si consideri un generico punto  $q=(q_x, q_y)$ .
- La sweep line sarà orizzontale e la sua coordinata verticale è  $l_y$ . Quindi  $dist(q,l)=l_y-q_y$ .
- La condizione che  $q$  sia sulla parabola generata da  $p$  ed  $l$  è:  $dist(q,p)=l_y-q_y$ .
- Più in generale:
  - $dist(q,p) < l_y - q_y$  se  $q$  giace sopra la parabola
  - $dist(q,p) = l_y - q_y$  se  $q$  giace sulla parabola
  - $dist(q,p) > l_y - q_y$  se  $q$  giace sotto la parabola



## ALGORITMO DI FORTUNE (3)

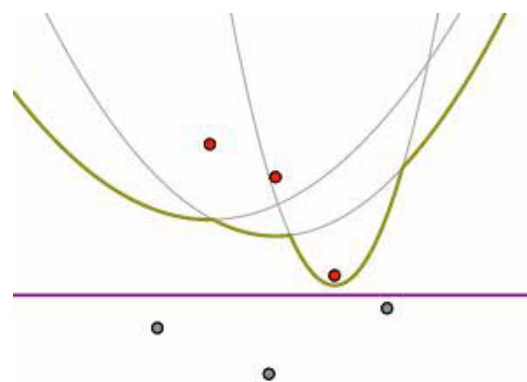
- La sweep line si muove verso il basso.
- In ogni istante, consideriamo i punti al di sopra della sweep line e le parabole che essi definiscono.
- Ad esempio:



47

## ALGORITMO DI FORTUNE (4)

- Definiamo *beach line* la curva formata dai più bassi archi di parabola.
- In altri termini: ogni linea verticale passa per molte parabole; il punto in cui la linea verticale passa per la beach line è il punto più basso.
- N.B. Ogni arco che compone la beach line è associato ad uno dei siti sopra la sweep line.



Per vedere come cambia la beach line:

<http://merganser.math.gvsu.edu/david/voronoi.08.06/animatedBeachLine.html>

48

## ALGORITMO DI FORTUNE (5)

- Osserva che se un punto è al di sopra della beach line, sarà più vicino ad uno dei siti sopra la sweep line che alla sweep line stessa.
- Questo significa che questo punto giace nella cella di Voronoi di un punto che la sweep line ha già spazzato.
- Perciò, il diagramma di Voronoi al di sopra della beach line è determinato dai siti al di sopra della sweep line.

49

## ALGORITMO DI FORTUNE (6)

- Ora determiniamo la condizione per cui la beach line passi per un punto  $q$ .
- Sia  $q$  tale che  $dist(q, p_1) \leq dist(q, p_i)$  per ogni altro  $i$ .
- La condizione che  $q$  sia sulla parabola generata da  $p_1$  e da  $l$  è:  $dist(q, p_1) = l_y - q_y$ .
- Unendo le 2:  $dist(q, p_i) \geq dist(q, p_1) = l_y - q_y = dist(q, l)$ , cioè  $q$  non è al di sopra di alcuna parabola, perciò  $q$  è sulla beach line. In altre parole:

quando un punto appare sulla beach line, esso è sull'arco di parabola associato al sito a lui più vicino.

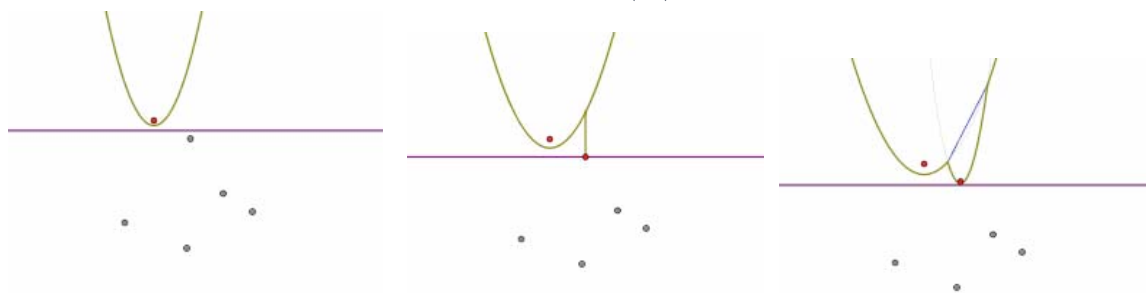
50

## ALGORITMO DI FORTUNE (7)

- I punti sulla beach line che giacciono all'intersezione di due archi di parabola sono detti *breakpoints*.
- I breakpoints sono contemporaneamente più vicini a due siti. In altre parole, i breakpoints giacciono sui segmenti del diagramma di Voronoi.
- Per costruire il diagramma di Voronoi, basta tenere traccia dei breakpoints.

51

## ALGORITMO DI FORTUNE (8)

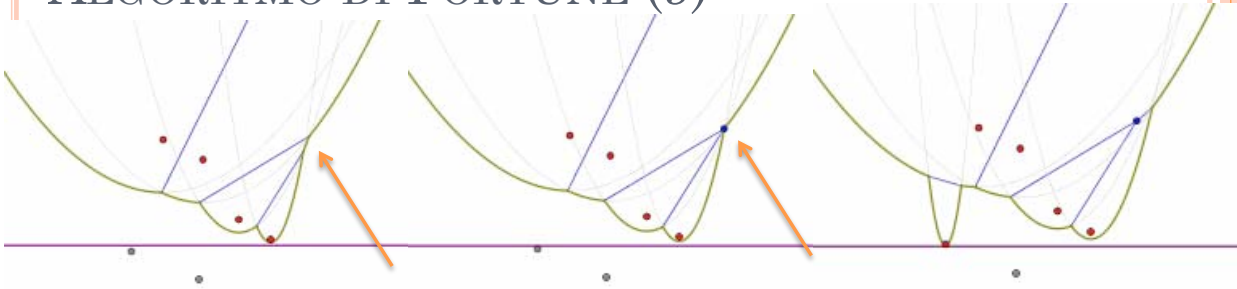


### Determinare i segmenti:

- Una coppia di breakpoints che corrisponde ad un segmento nel diagramma di Voronoi appare sulla beach line quando la sweep line attraversa un nuovo sito.
- Chiamiamo questa situazione *site event*.

52

## ALGORITMO DI FORTUNE (9)



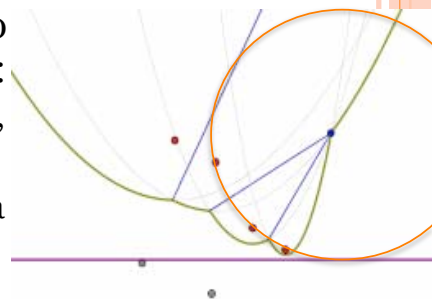
### Determinare i vertici:

- Mentre la sweep line si muove, i breakpoints si muovono lungo un segmento fino a raggiungere un vertice, quando uno degli archi di parabola scompare

53

## ALGORITMO DI FORTUNE (10)

- La comparsa di nuovi archi di parabola sulla beach line è facile da determinare: avviene quando la sweep line attraversa un sito.
- Analogamente, la scomparsa di un arco di parabola è facile da determinare: quando questo si riduce ad un punto  $x$ , questo punto giace su 3 parabole:
  - quella che contiene l'arco che sta scomparendo
  - l'arco di parabola alla destra di questo
  - l'arco di parabola alla sinistra di questo.
- $x$  è dunque equidistante da 3 siti, corrispondenti ai 3 archi di parabola -> un cerchio centrato in  $x$  vi passa.
- Troviamo un vertice quando la sweep line ha finito di spazzare quel cerchio.
- Chiamiamo questa situazione *circle event*.



54

## ALGORITMO DI FORTUNE (11)

### Algoritmo di Fortune

- Per determinare segmenti e vertici del diagramma, dobbiamo determinare la comparsa e scomparsa di archi di parabola sulla beach line.
- Teniamo traccia della beach line immaginando di percorrerla da sx a dx e memorizzando l'ordine dei siti che producono degli archi di parabola.
- Questo ordine non cambia fino a quando non si verifica un site event o un circle event.
- I breakpoints sono implicitamente memorizzati come intersezioni di archi di parabola sulla beach line.

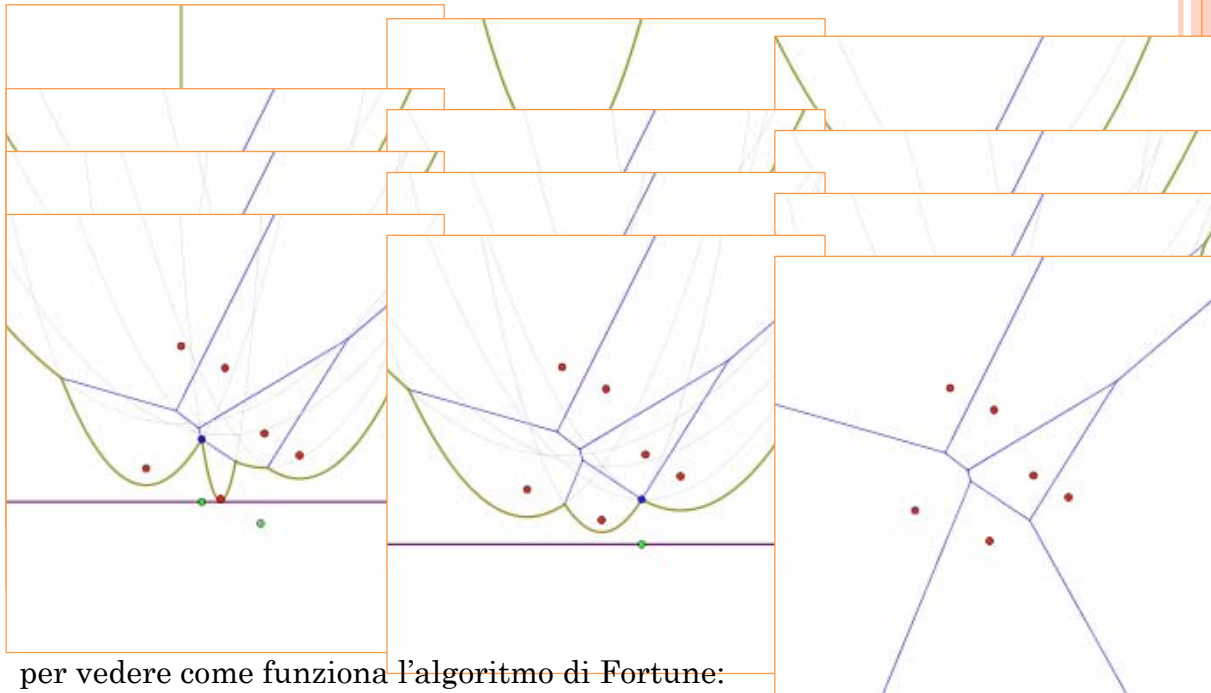
55

## ALGORITMO DI FORTUNE (12)

### Algoritmo di Fortune (segue)

- Se il prossimo evento incontrato dalla beach line è:
  - un site event, inseriamo il nuovo sito nella lista dei siti nell'ordine in cui compare il suo arco di parabola e memorizziamo il nuovo segmento del diagramma
  - un circle event, memorizziamo il nuovo vertice del diagramma e che esso è un estremo dei segmenti corrispondenti ai due breakpoints che si sono venuti a trovare vicini.
- In entrambi i casi, verifichiamo se si è generata una nuova tripla di siti che produrrà un futuro circle event.
- Il diagramma viene costruito considerando la sequenza (finita) di questi eventi.

## ALGORITMO DI FORTUNE (13)



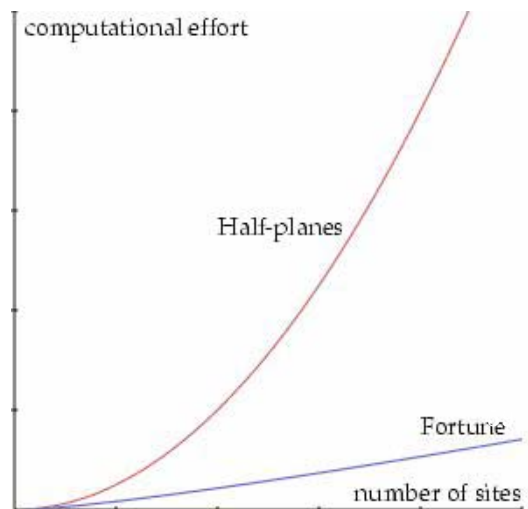
per vedere come funziona l'algoritmo di Fortune:  
<http://www.diku.dk/hjemmesider/studerende/duff/Fortune/>

## COMPLESSITÀ

- L'analisi della complessità segue l'analisi tipica degli algoritmi basati su sweep line.
- Ogni evento prende tempo  $O(1)$  più un numero costante di accessi alle strutture dati.
- Ognuno di questi accessi costa  $O(\log n)$  tempo
- Le strutture dati contengono  $O(n)$  informazioni
  
- Il tempo totale è  $O(n \log n)$ , e lo spazio è  $O(n)$ .
- Questa complessità è ottima perché il problema dell'ordinamento per confronti si può ridurre a quello del calcolo del diagramma di Voronoi.

## CONCLUSIONI

- L'algoritmo di Fortune è un modo efficiente per calcolare il diagramma di Voronoi.
- Qualunque algoritmo si usi, è ragionevole pensare che la complessità cresca al crescere del # dei siti.
- L'algoritmo basato sull'intersezione dei semipiani impiega tempo  $O(n^2 \log n)$  se  $n$  sono i siti.
- La complessità dell'algoritmo di Fortune è  $O(n \log n)$ .



**VERSO I SENSORI ETEROGENEI**

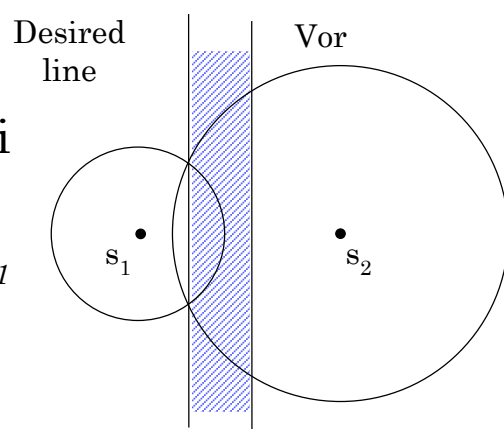
## SENSORI ETEROGENEI

- I sensori non devono necessariamente essere tutti uguali. Abbiamo una rete di sensori eterogenei in caso di:
  - dispositivi diversi
  - capacità del dispositivo dipendente dalla posizione (terreno non perfettamente liscio, ostacoli, ...)
- Gli approcci descritti (forze virtuali e Voronoi) non funzionano con sensori eterogenei:
  - Forze virtuali: le forze dipendono solo dalla distanza
  - Voronoi: le celle non tengono conto della capacità di copertura

61

## LIMITAZIONI DI VORONOI (1)

- L'algoritmo di Voronoi assegnerebbe:
  - il semipiano di sinistra ad  $s_1$  (anche la zona ombreggiata)
  - il semipiano di destra ad  $s_2$

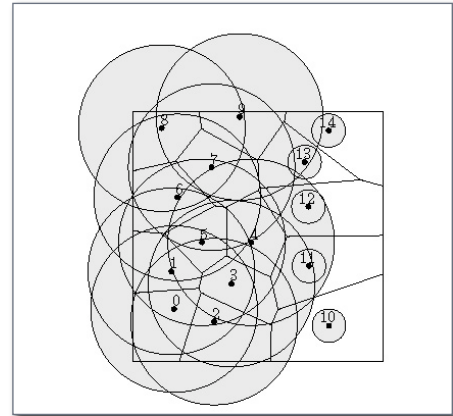


62

## LIMITAZIONI DI VORONOI (2)

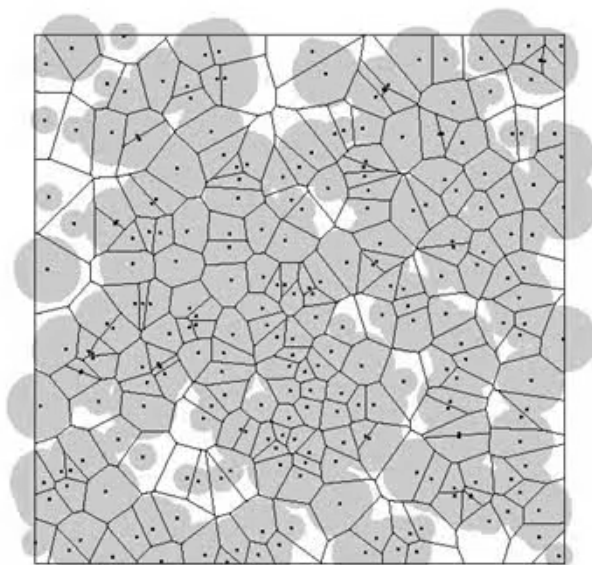
### ○ Situazione di stallo:

- i sensori di sinistra (cerchi grandi) non si muovono perché non vedono buchi di copertura, coprendo il loro poligono interamente
- i sensori a destra (cerchi piccoli) non si muovono perché stanno già sfruttando al meglio le loro capacità di copertura



63

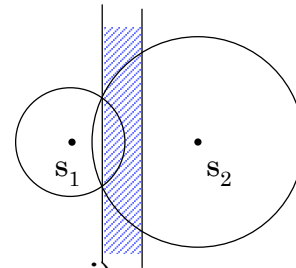
## LIMITAZIONI DI VORONOI (3)



64

## UNA NUOVA NOZIONE DI DISTANZA

- la diversità dei dispositivi NON viene considerata
- Introduciamo una nuova nozione di distanza che tiene conto della:
  - ♦ distanza euclidea
  - ♦ diversità dei dispositivi
- Molte possibilità, ma vogliamo:
  - ♦ diagrammi con linee rette (poligoni convessi)
  - ♦ una distanza per cui il luogo dei punti equidistanti da due sensori eterogenei passi per l'intersezione dei cerchi di sensing



65

## DISTANZA DI LAGUERRE (1)

W. Blaschke. Vorlesungen uber Differentialgeometrie III. Springer Berlin. 1929.

- Definita in  $\mathcal{R}^3$
- Dati due punti  $P=(x,y,z)$  e  $Q=(x',y',z')$  la loro distanza di Laguerre è:
  - ♦  $d_L^2(P,Q)=(x-x')^2+(y-y')^2-(z-z')^2$
- $P$  cerchio (orientato) di centro  $(x,y)$  e raggio  $|z|$

66

## DISTANZA DI LAGUERRE (2)

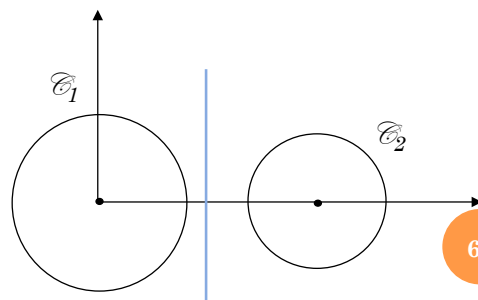
- Dati due cerchi  $\mathcal{C}_1$  e  $\mathcal{C}_2$ , di centri  $C_1$  e  $C_2$  e raggi  $r_1$  ed  $r_2$ , la distanza di Laguerre tra i due cerchi è:
  - ♦  $d_L^2(\mathcal{C}_1, \mathcal{C}_2) = d_E^2(C_1, C_2) - (r_1 - r_2)^2$
- La distanza di Laguerre tra un punto  $P=(x,y)$  e un cerchio  $\mathcal{C}=(x',y',r)$  è:
  - ♦  $d_L^2(P, C) = (x-x')^2 + (y-y')^2 - r^2$

67

## DISTANZA DI LAGUERRE (3)

- **Lemma.** Dati due cerchi  $\mathcal{C}_1$  e  $\mathcal{C}_2$  con centri distinti  $C_1$  e  $C_2$  e raggi  $r_1$  ed  $r_2$ , il luogo dei punti equidistanti da  $\mathcal{C}_1$  e  $\mathcal{C}_2$  è una retta (detta **asse radicale**) perpendicolare al segmento che connette  $C_1$  e  $C_2$  posto a distanza  $k$  da  $C_1$ , con

$$k = \frac{d_E(C_1, C_2)}{2} + \frac{r_1^2 - r_2^2}{2d_E(C_1, C_2)}$$



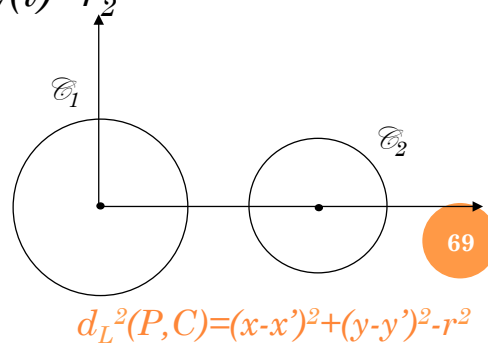
68

## DISTANZA DI LAGUERRE (4)

**Dim.** Luogo dei punti  $P(t)=(x(t), y(t))$  equidistanti, cioè tale che  $d_L(P(t), \mathcal{C}_1)=d_L(P(t), \mathcal{C}_2)$ .

- Se  $C_1=C_2$  ed  $r_1=r_2 \Rightarrow$  intero piano
- Se  $C_1=C_2$  ed  $r_1 \neq r_2 \Rightarrow$  insieme vuoto
- Se  $C_1 \neq C_2$ :

$$x(t)^2+y(t)^2-r_1^2=(d_E(C_1, C_2)-x(t))^2+y(t)^2-r_2^2$$



69

## DISTANZA DI LAGUERRE (5)

- **Lemma.** Dati due cerchi  $\mathcal{C}_1$  e  $\mathcal{C}_2$  con centri  $C_1$  e  $C_2$  distinti e raggi  $r_1$  ed  $r_2$ , i loro centri giacciono dalla stessa parte dell'asse radicale se e solo se

$$d_E^2(C_1, C_2) < |r_1^2 - r_2^2|.$$

**Dim.** L'asse può giacere a destra o a sinistra.

- Destra:

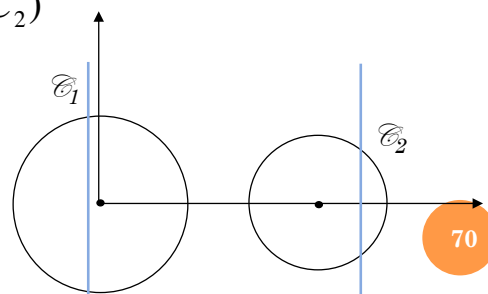
$$k = \frac{d_E(C_1, C_2)}{2} + \frac{r_1^2 - r_2^2}{2d_E(C_1, C_2)} \geq d_E(C_1, C_2)$$

$$d_E^2(C_1, C_2) \leq r_1^2 - r_2^2 \Rightarrow r_1 \geq r_2$$

- Sinistra:

$$\frac{d_E(C_1, C_2)}{2} + \frac{r_1^2 - r_2^2}{d_E(C_1, C_2)} \leq 0$$

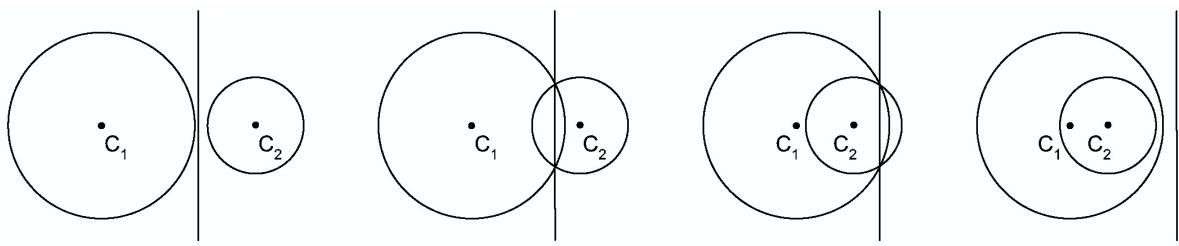
$$d_E^2(C_1, C_2) \leq r_2^2 - r_1^2 \Rightarrow r_2 \geq r_1$$



70

## DISTANZA DI LAGUERRE (6)

- Collocazioni possibili dell'asse radicale di due cerchi  $\mathcal{C}_1$  e  $\mathcal{C}_2$



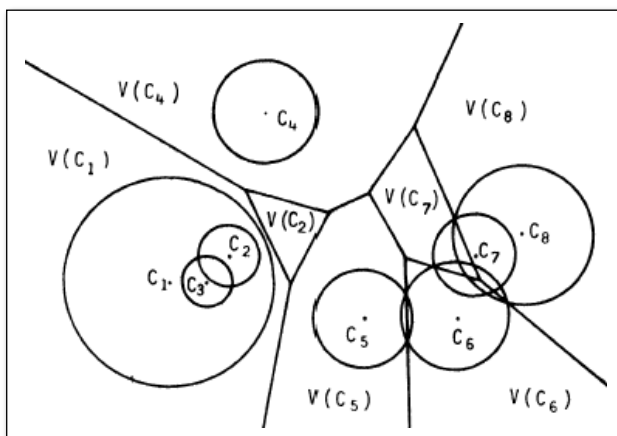
71

## DIAGRAMMA DI VORONOI-LAGUERRE (1)

Diagramma di Voronoi-Laguerre di  $\mathcal{C}_1, \dots, \mathcal{C}_n$ :

$$\diamond V_i = \cap \{p \in \mathcal{R}^2 \mid d_L^2(\mathcal{C}_i, P) \leq d_L^2(\mathcal{C}_j, P)\}$$

H. Imai, M. Iri, K. Murota. "Voronoi Diagram in the Laguerre Geometry and its Applications". SIAM J. Comput. 14(1), 93-105. 1985.



somiglianze e differenze con i diagrammi di Voronoi classici...

72

## DIAGRAMMA DI VORONOI-LAGUERRE (2)

Somiglianze:

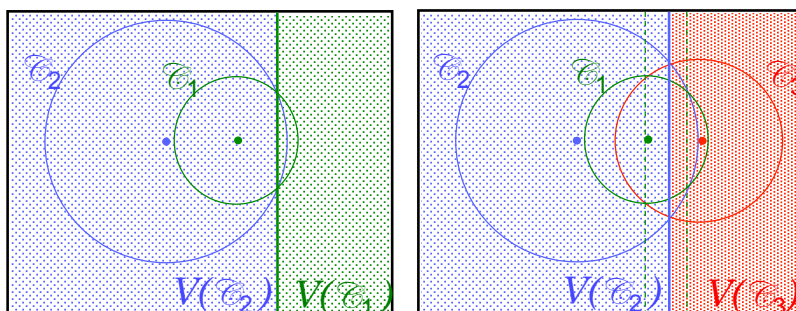
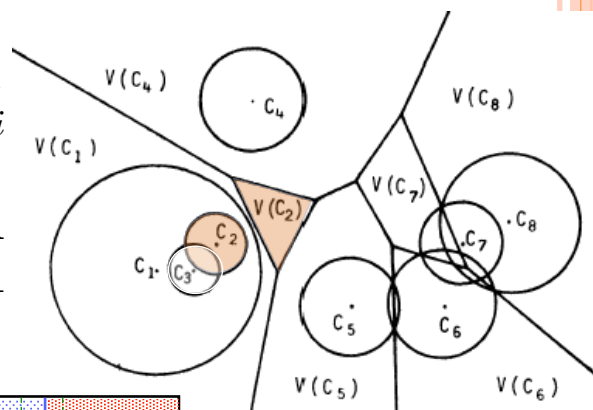
- I poligoni di Voronoi-Laguerre partizionano il piano
- $V_i$  è sempre convesso perché intersezione di semipiani
- se  $r_i=0$  per ogni  $i=1, \dots, n$ , il diagramma di Voronoi-Laguerre si riduce al diagramma di Voronoi classico.

73

## DIAGRAMMA DI VORONOI-LAGUERRE (3)

Differenze:

- $\mathcal{C}_i$  può essere **esterno** a  $V_i$  (vedi  $\mathcal{C}_2$ )
- $V_i$  può essere **vuoto** (ad es. se  $\mathcal{C}_i$  è nell'unione di altri cerchi - vedi  $\mathcal{C}_3$ )



74

## DIAGRAMMA DI VORONOI-LAGUERRE (4)

- **Teorema.** Dati  $n$  cerchi  $\mathcal{C}_i$  con centri  $C_i=(x_i, y_i)$  e raggi  $r_i$ ,  $i=1, \dots, n$ , siano  $V_i$  i loro poligoni di Voronoi-Laguerre.

Per ogni  $i$  e  $j$ ,  $V_i \cap \mathcal{C}_j \subseteq \mathcal{C}_i$ .

Cioè, l'intersezione di  $V_i$  con un cerchio  $\mathcal{C}_j$  è contenuta in  $\mathcal{C}_i$ .

75

## DIAGRAMMA DI VORONOI-LAGUERRE (5)

**Dim.** Per assurdo, esista un punto  $P \subseteq V_i$  in  $\mathcal{C}_j$  ma non in  $\mathcal{C}_i$ , per qualche  $j \neq i$ .

- Poiché  $P \subseteq V_i$   $d_L(P, \mathcal{C}_i) < d_L(P, \mathcal{C}_j)$  per ogni  $j \neq i$ , cioè

$$d_E^2(P, \mathcal{C}_i) - r_i^2 < d_E^2(c_j, P) - r_j^2$$

- Poiché  $P$  è in  $\mathcal{C}_j$  ma non in  $\mathcal{C}_i$ ,

$$d_E^2(P, \mathcal{C}_j) \leq r_j^2 \text{ e } d_E^2(P, \mathcal{C}_i) \geq r_i^2$$

- Sostituendo:  $0 < 0$  Assurdo.

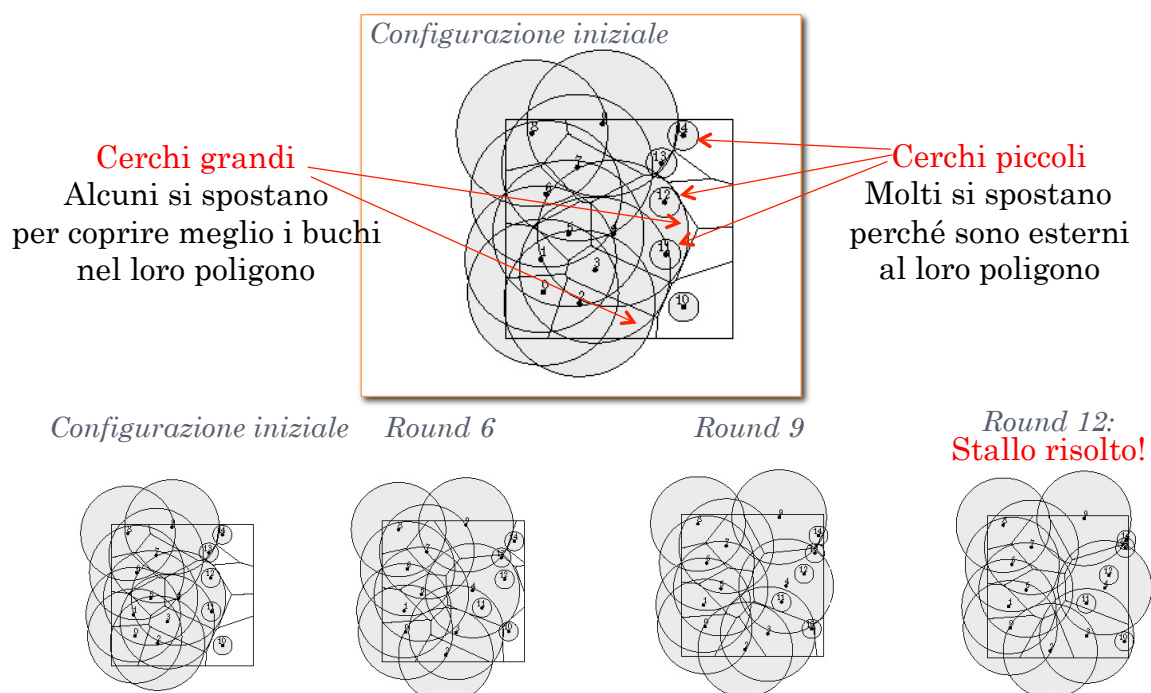
76

## ALGORITMO BASATO SU VORONOI-LAGUERRE (1)

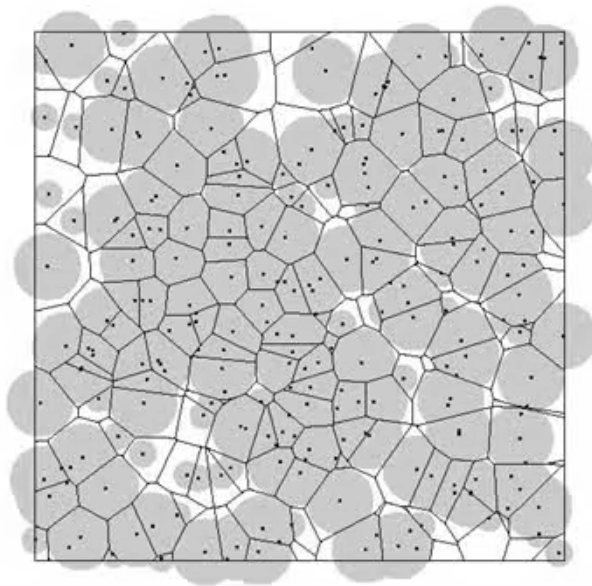
Algoritmo eseguito da ogni sensore  $s_i$ :

- calcola  $V_i$
- se  $s_i$  è interno a  $V_i$  si sposta verso il minimax (o al massimo di  $d_i^{max} = r_{tx} / 2 - r_i$  dove  $r_{tx} = \min_i r_i^{tx}$ ) se accresce la copertura di  $V_i$
- se  $s_i$  è esterno a  $V_i$  si sposta verso il minimax (o al massimo di  $d_i^{max} = r_{tx} / 2 - r_i$ )
- se  $V_i$  è nullo, non fa niente.

## ALGORITMO BASATO SU VORONOI-LAGUERRE (2)



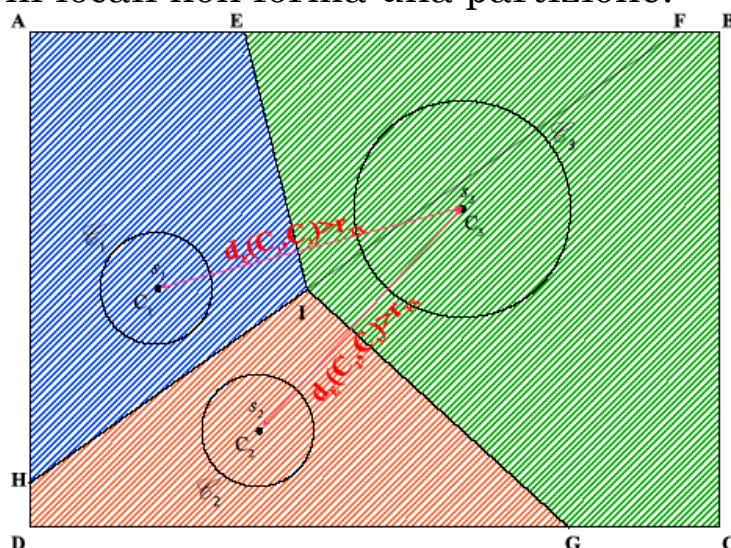
## ALGORITMO BASATO SU VORONOI-LAGUERRE (3)



79

## PROPRIETÀ DELL'ALGORITMO (1)

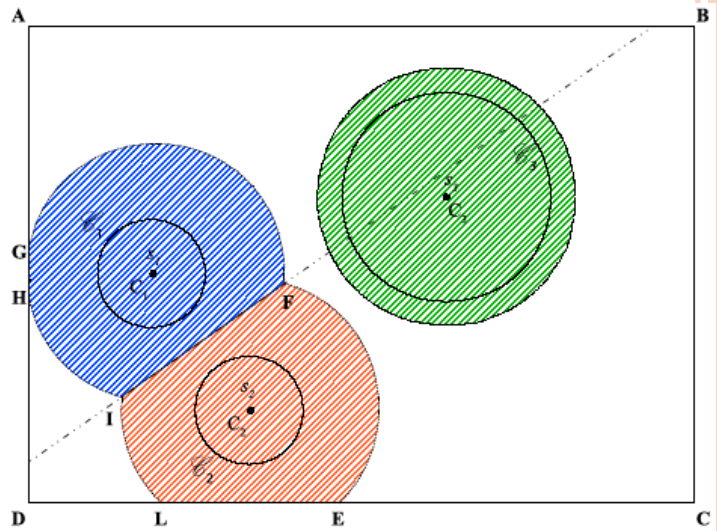
- Osserva:
  - ♦ Poligono “locale”  $\neq$  poligono “globale” e l'insieme dei poligoni locali non forma una partizione!



80

## PROPRIETÀ DELL'ALGORITMO (2)

- Definiamo il poligono curvo  $V'_i$  generato dall'intersezione del poligono "locale" con il cerchio di raggio  $d_i^{max} + r_i = r_{tx}/2$ .



## PROPRIETÀ DELL'ALGORITMO (3)

- Lemma.**  $V'_i \cap V'_j = \emptyset \quad \forall i \neq j$
- Lemma.**  $\forall i \neq j, V'_i \cap \mathcal{Q}_j \subseteq \mathcal{Q}_i$ .

In altre parole, ogni poligono curvo può essere coperto dal sensore che lo genera meglio che da qualunque altro sensore.

## PROPRIETÀ DELL'ALGORITMO (4)

**Th.** L'algoritmo converge.

**Dim.** Sia  $V_i^{(k)}$  il poligono curvo di  $s_i$  al round  $k$ .

- $A_i^{(k)}$  ed  $A_i^{(k)}(s_i)$  è l'area coperta in  $V_i^{(k)}$  da tutti i sensori e dal solo  $s_i$  al round  $k$ .  $A_i^{(k+1)}$  è l'area coperta considerando le posizioni dei sensori al round  $k+1$ .
- N.B.  $A_i^{(k)} \neq A_i^{(k+1)}$
- $A_{total}^{(k)}$  è l'area coperta dell'AoI da tutti i sensori.
- Dobbiamo dim. che  $A_{total}^{(k)} < A_{total}^{(k+1)}$

## PROPRIETÀ DELL'ALGORITMO (5)

**Dim.** (segue)

- $\mathcal{P}^{(k)} = \{V_1^{(k)}, V_2^{(k)}, \dots, AoI \setminus \cup_i V_i^{(k)}\}$  è una partizione dell'AoI.
- $AoI \setminus \cup_i V_i^{(k)}$  è costituito da punti scoperti che non possono essere coperti in un round e non contribuisce ad  $A_{total}^{(k)}$ .
- $A_{total}^{(k)} = \sum_i A_i^{(k)}$
- $A_i^{(k)} = A_i^{(k)}(s_i)$  (lemma precedente)
- $A_i^{(k)}(s_i) < A_i^{(k+1)}(s_i)$  (per l'algoritmo)
- $A_i^{(k)}(s_i) \leq A_i^{(k)}$
- Quindi:  $A_{total}^{(k)} = \sum_i A_i^{(k)} < \sum_i A_i^{(k+1)}$
- Poiché la copertura al round  $k+1$  non dipende dalla partizione:  
$$\sum_i A_i^{(k+1)} = A_{total}^{(k+1)}$$

## PROPRIETÀ DELL'ALGORITMO (6)

- La convergenza non implica la terminazione.
- Per garantire la terminazione, introduciamo una soglia di movimento minimo  $\epsilon$ , in modo che i sensori non si muovono se devono farlo per meno di  $\epsilon$ .
- **Corollario.** L'algoritmo con l'aggiunta della soglia di movimento minimo termina.

85

## PROBLEMI APERTI

- Ostacoli e asperità del terreno
  - ◆ anisotropia
  - ◆ impedimento al movimento
- Aree di forma complessa
  - ◆ regioni concave e corridoi
- ...

86